

Nb3Al線材の開発

- 1) 高電流密度化
- 2) 安定化銅付着法の改良

2010年 7月 6日

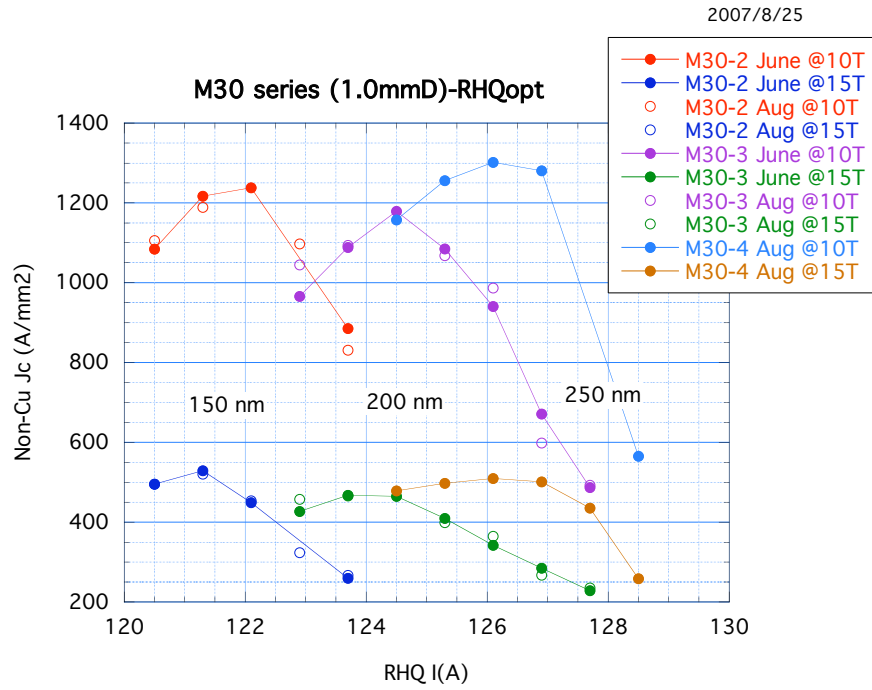
土屋清澄

基礎開発

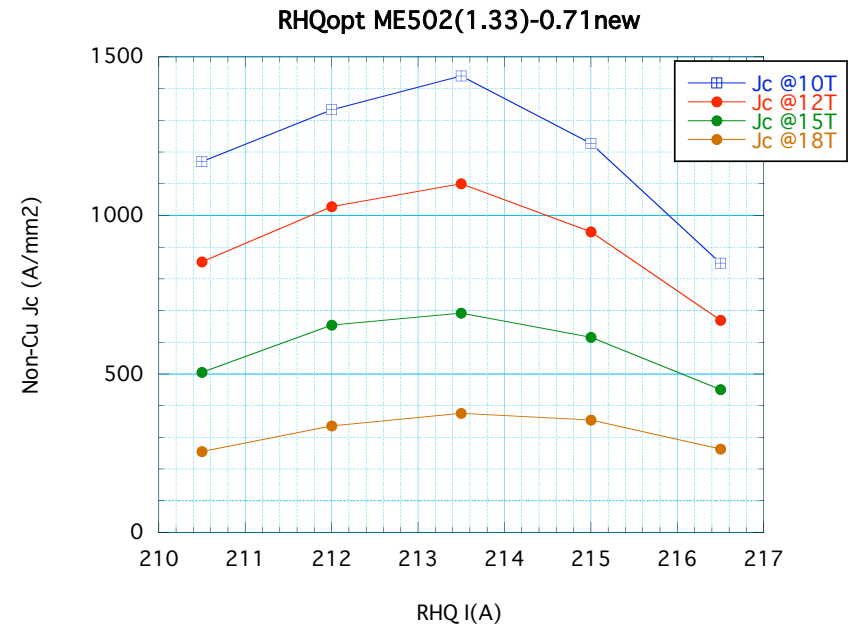
高電流密度化(1)

- RHQ処理

Nb-matrix



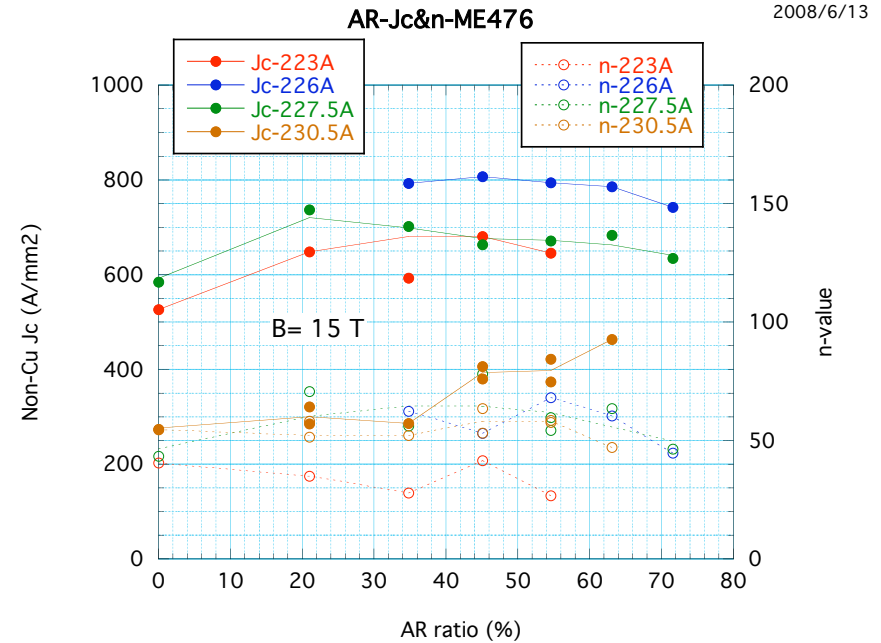
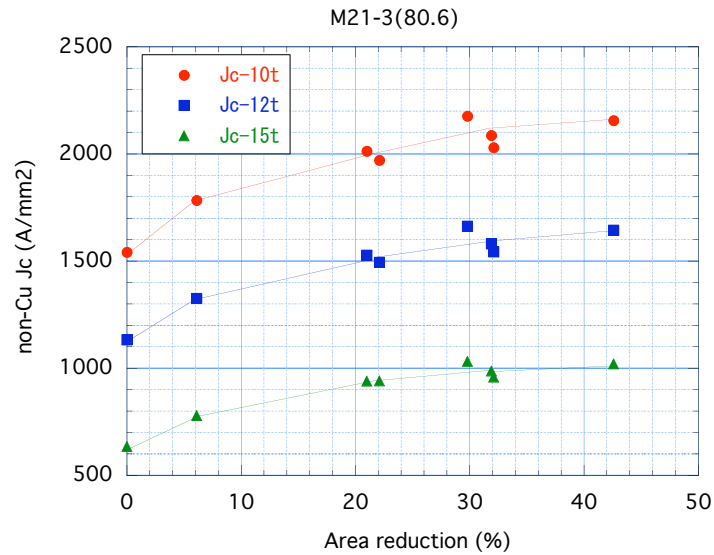
Ta-matrix



Optimum な RHQ current が存在

高電流密度化(2)

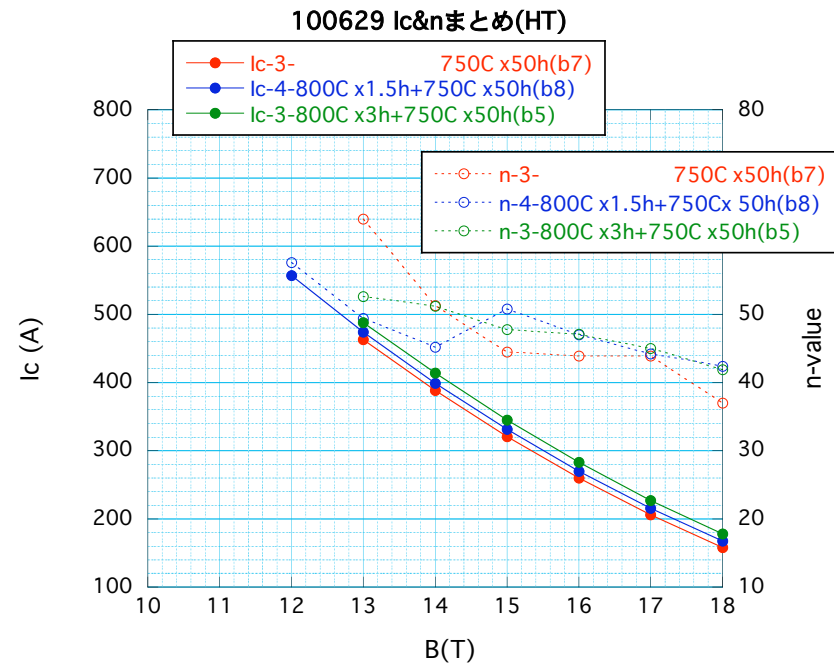
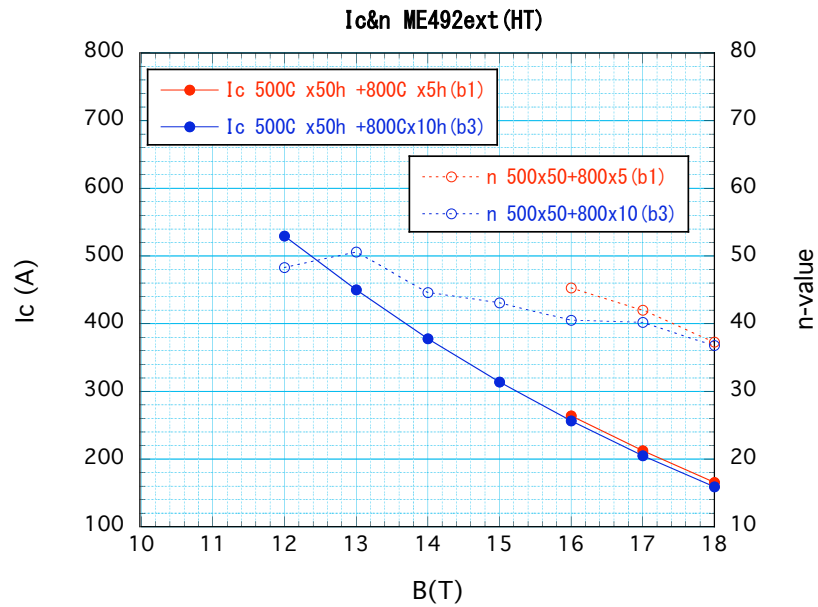
- RHQ処理後の加工



減面率 40~50%が最適

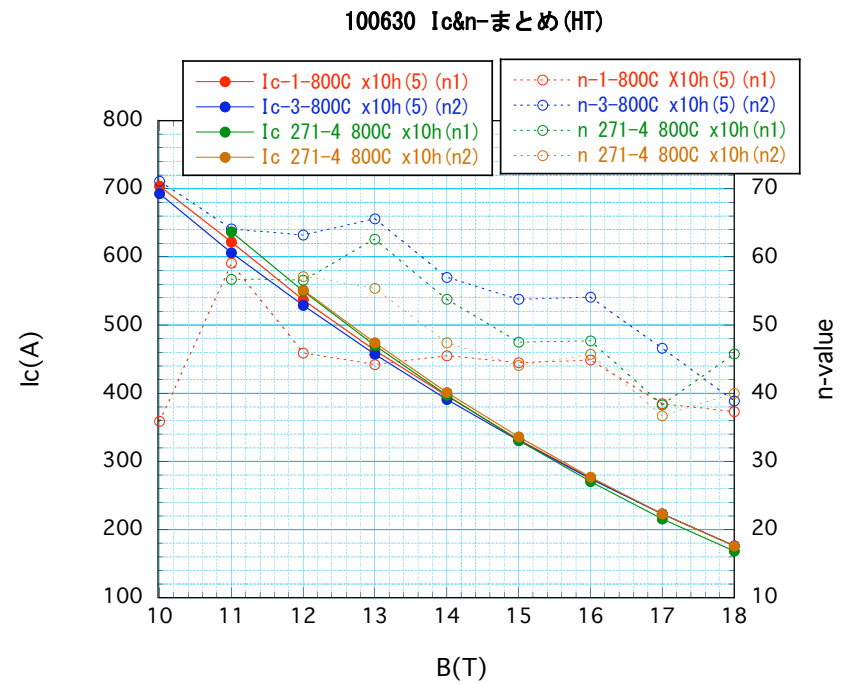
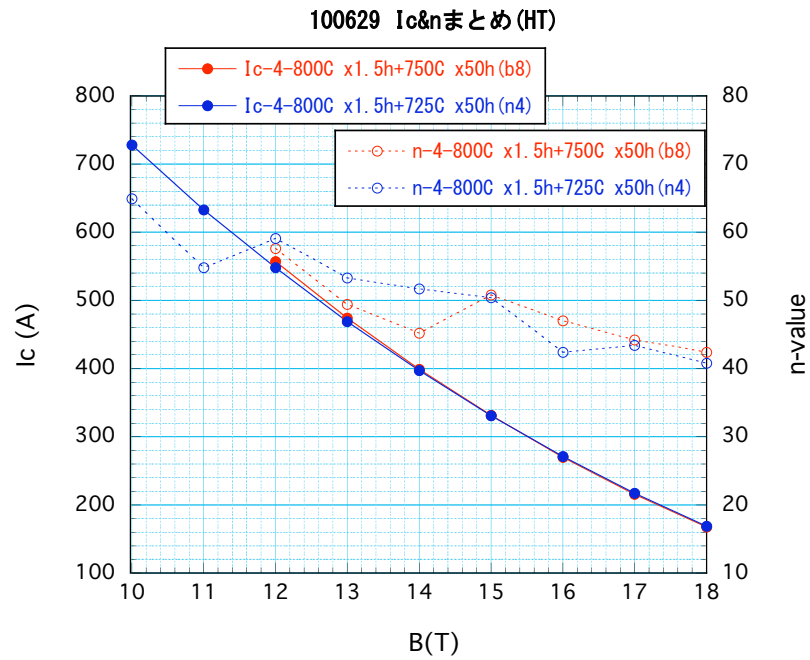
高電流密度化(3)

変態熱処理(1)



高電流密度化(4)

変態熱処理(2)



変態熱処理条件を変えても J_c はほとんど変わらない。

高電流密度化(5)

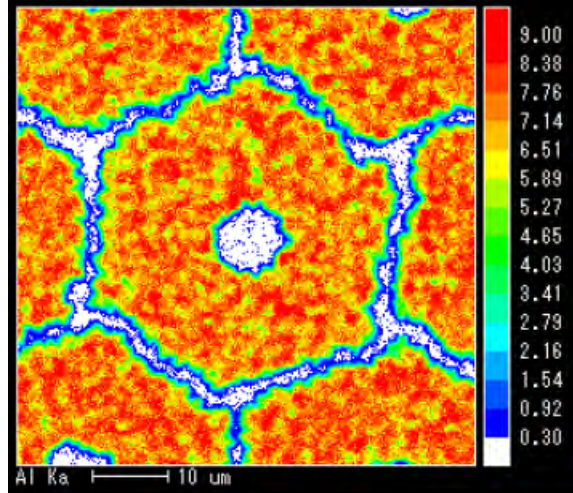
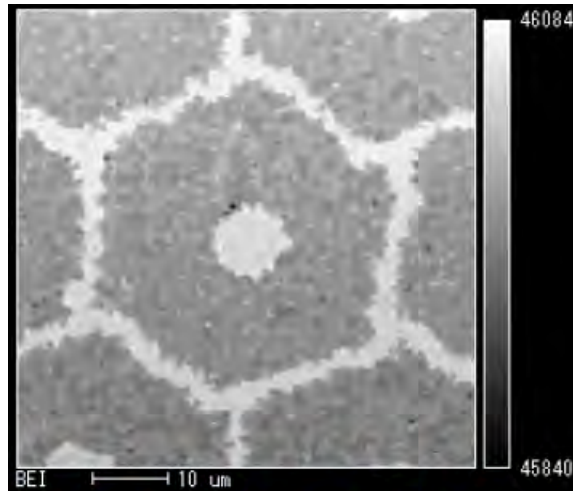
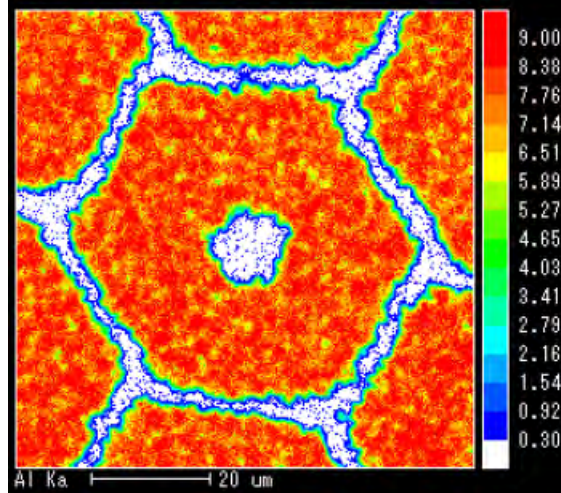
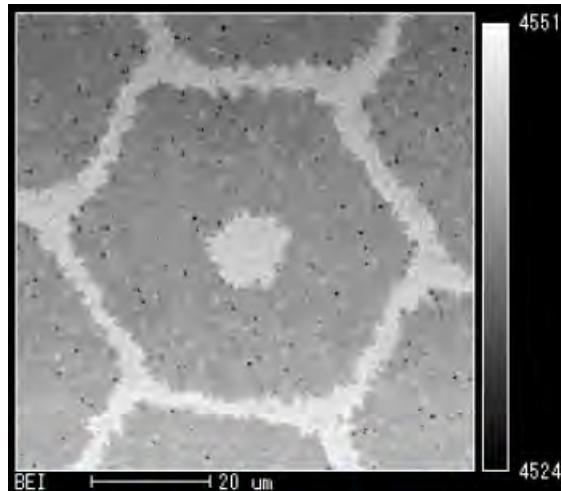
- 現状の線材の微視的観察(1) EPMA(Electron Probe MicroAnalysis)

M21-3 (80.6A)

filament J_c @10T,4.2K: 2775 A/mm²

ME396-55 (76A)

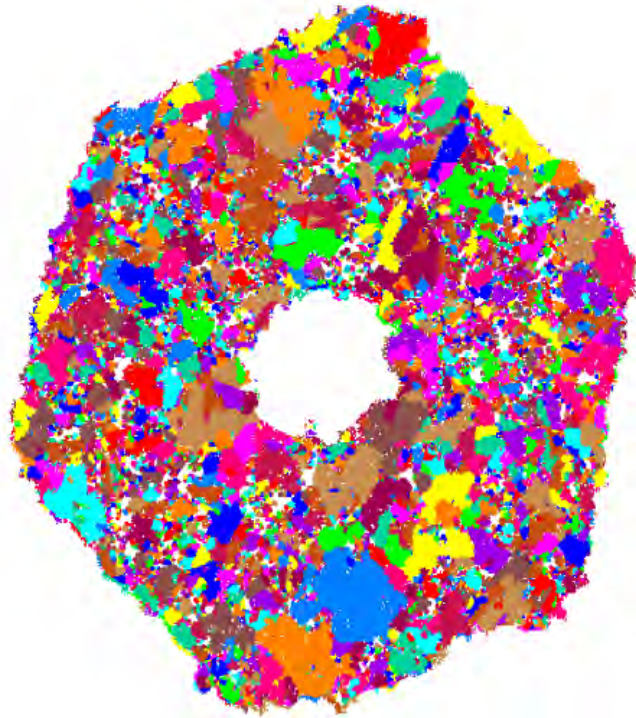
filament J_c : 1420 A/mm²



Filament内のAl濃度の分布が一様でない

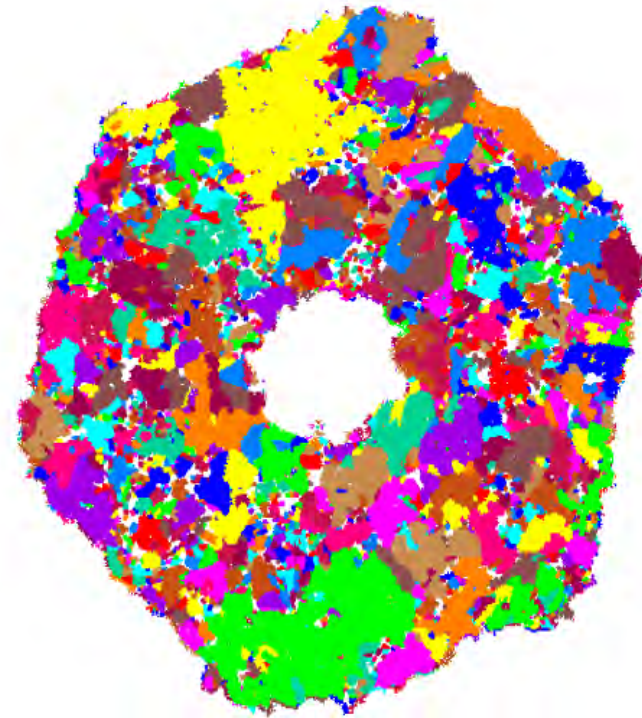
高電流密度化(6)

- 線材の微視的観察(2) EBSD (Electron Back Scatter Diffraction)



20 μ m=80step

Unique Grain Map



20 μ m=80step

Unique Grain Map

高電流密度化(7)

粒徑比較

No	Misorientation	Bcc grain (μm)		A15 grain (μm)		$J_{\text{filament}}(4.2\text{K})$ (A/mm ²)
		Number	Area Fraction	Number	Area Fraction	
M21-3 (80.6A) AR=0%	5°	4.65	12.03	0.693	3.9	2275@10T 687@17T
	2°	4.32	11.37	0.476	2.06	
M21-3 (80.6A) AR=42%	5°	0.754	4.6	0.865	1.722	3881@10T 1237@17T
	2°	0.512	1.85	0.618	1.158	
ME396-5 5(76A) AR=0%	5°	2.93	8.46	0.478	4.06	1420@10T 465@17T
	2°	2.62	8.12	0.373	2.24	
M25-7 (119A) AR=0%	5°	2.215	6.401	0.976	2.748	(2001@14T) 787@17T
	2°	0.866	5.221	0.656	1.47	

高電流密度化(8)

- Nb₃Al
 - bcc相からの変態によりA15相をつくる。
変態温度に達すればA15相ができる。
 - 熱処理条件により粒径をコントロールするのは困難。
 - S-N転移幅は Nb₃Snに比べて広い。
Filament内の A15相が均一でない。

高 J_c 化を目指した試み

- 1) bcc相の粒径を小さくする。
粒界(粒径)のみがpinning centerとして働いてい
るのではない? $J_c \sim 1/D$ ではない。
- 2) Filament内の A15 相を均一化する。
2回 RHQ 処理?

安定化銅付着法の改良(1)

Ta-matrix線材への銅めっき

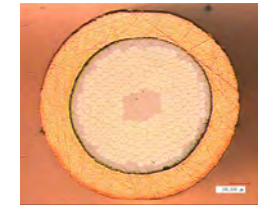
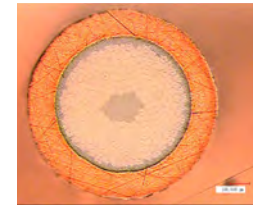
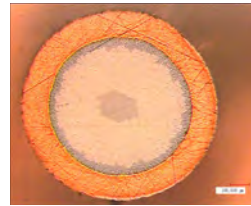
ME476, ME492 (K2)
の平ロール試験
(2009年1月)

ME476-2a26-0.74
400 °C x 2h

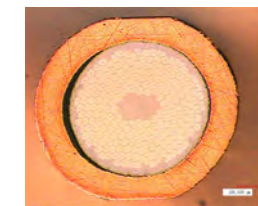
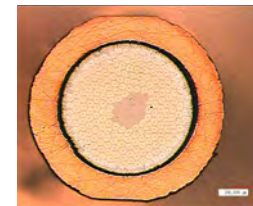
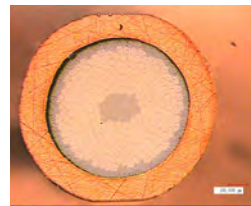
ME492-271-4 final
500°C x 1h

ME476-226-0.74
500°C x 3 h

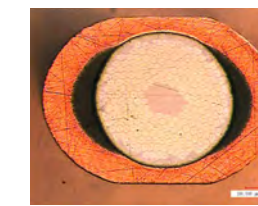
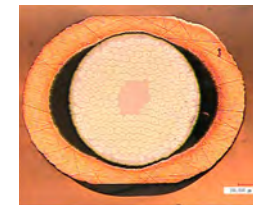
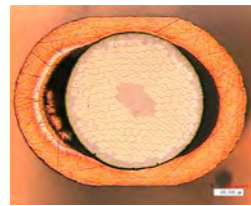
1) $a/b = 1$



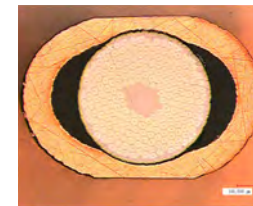
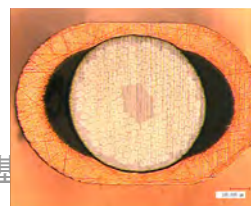
2) $a/b = 0.975 \sim 0.955$



3) $a/b = 0.878 \sim 0.872$

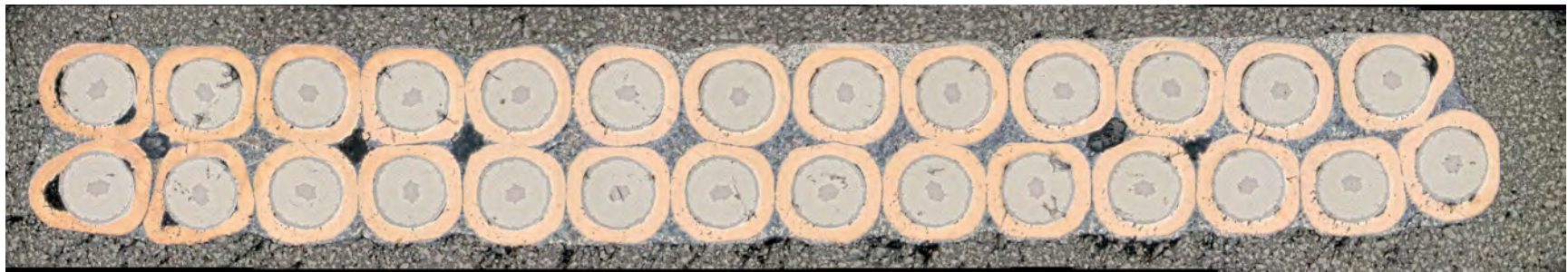
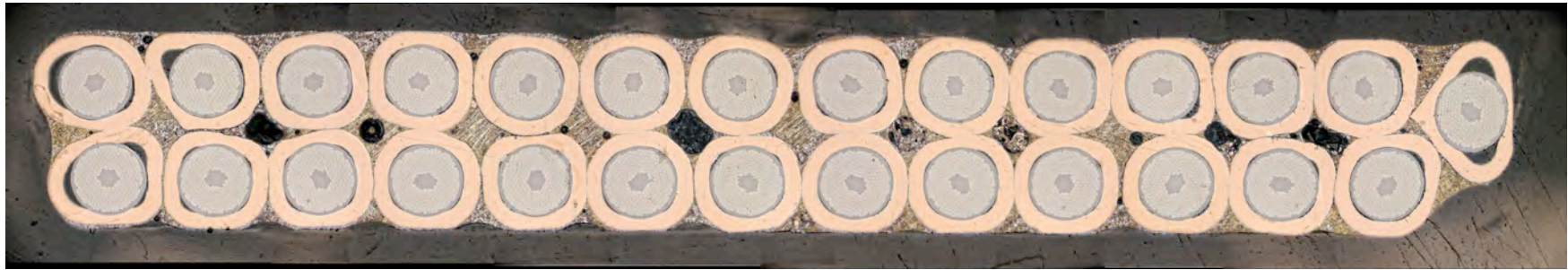


4) $a/b = 0.848 \sim 0.839$



安定化銅付着法の改良(2)

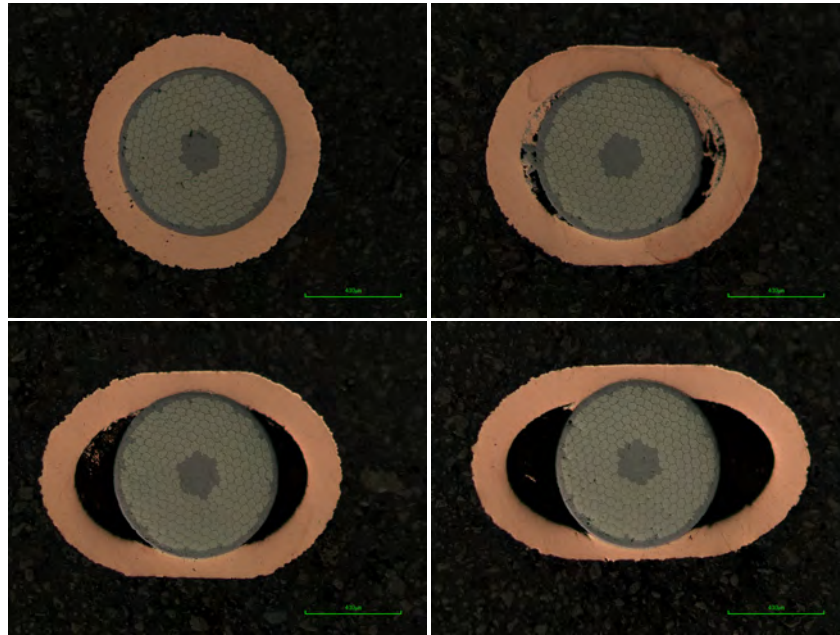
ME492 (K2) ケーブル断面 (2009年 3 月)



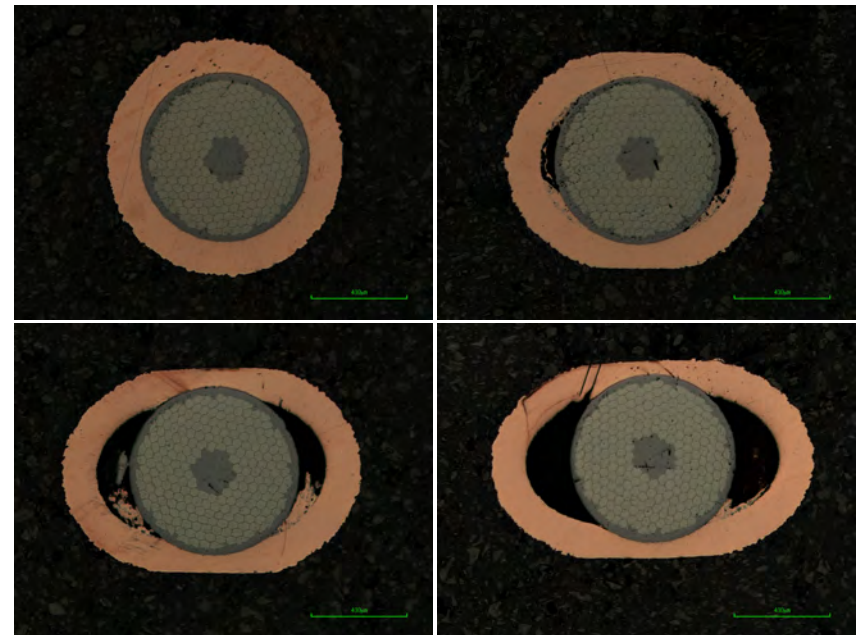
安定化銅付着法の改良(3)

ME502(K4) strandの平ロール試験 (2010年4月)

ME502 final 線 めっきまま 銅部ビッカース硬度： ~ 80

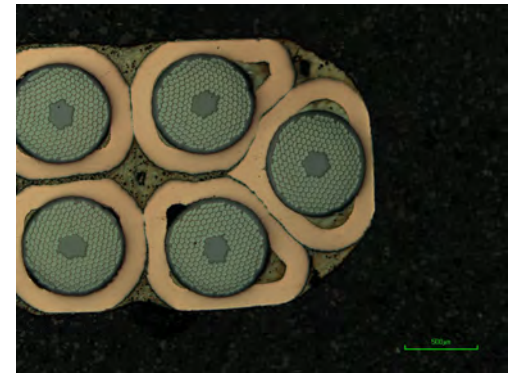
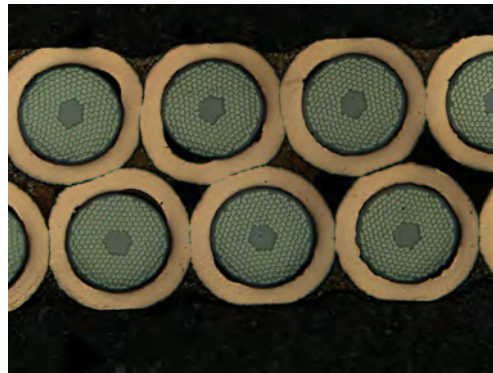
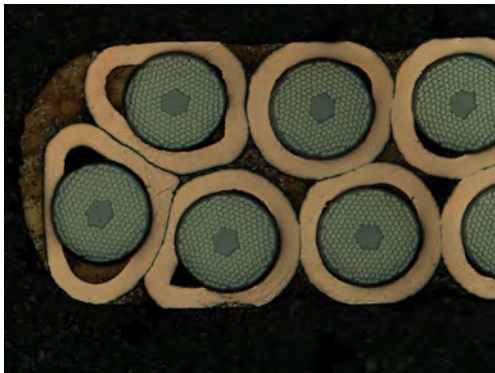
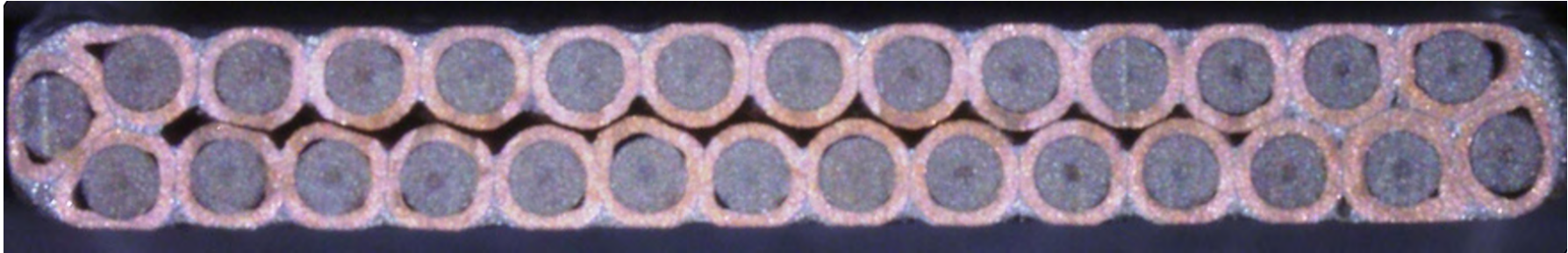


ME502 final 線 めっき後 350°Cx 5h HT 銅部硬度： ~ 74



安定化銅付着法の改良(4)

ME502 (K4) ケーブル断面 (2010年 6月)

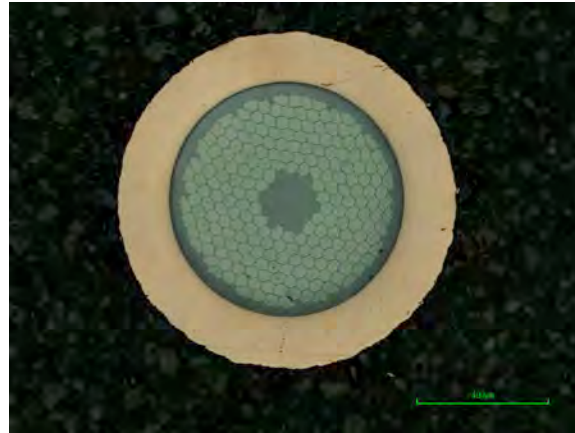


安定化銅付着法の改良(5)

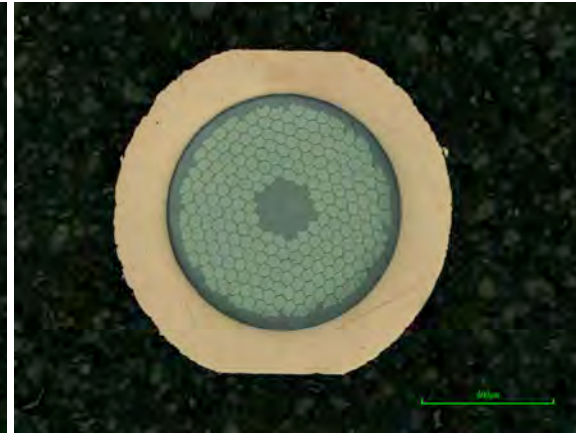
新めっき法 (2010年 6 月)

NIMSにて平ロール装置を通した線材の断面観察写真

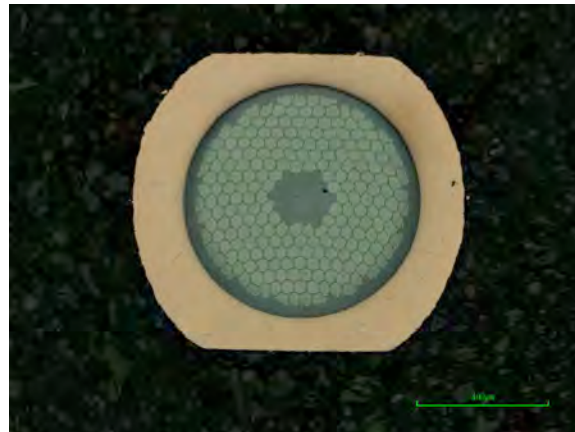
1) めっきまま



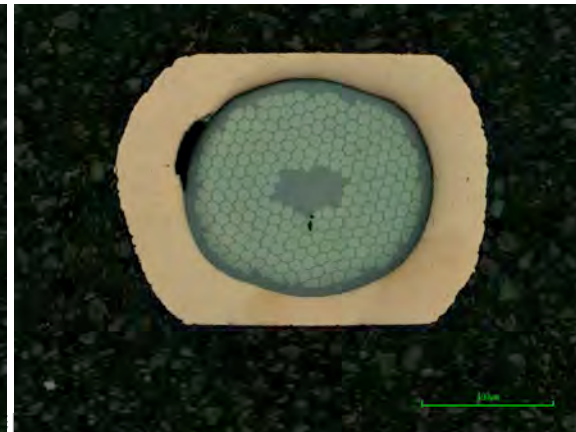
2) $a/b = \sim 92\%$



3) $a/b = \sim 87\%$



4) $a/b = \sim 79\%$



安定化銅付着法の改良(6)

今後の計画

- 新めっき法の確立
めっき条件の最適化

“めっき試験を行う Ta-matrix 線材の不足”

- めっき線材の分析・解析